

1. CINEMÁTICA

1.1. Representação de Posição e Orientação:

Sistemas Referenciais:

- Para localizar um corpo rígido no espaço tridimensional, um sistema referencial é associado ao mesmo.
- Um referencial associado a um corpo rígido é fixo no mesmo.
- Qualquer ponto do corpo rígido possuirá coordenadas invariantes no seu referencial associado.
- referencial será identificado por uma letra entre chaves. Exemplo: {A}, {i}, etc.
- Os referenciais são definidos por três vetores unitários ortogonais: \hat{x} , \hat{y} , \hat{z} .

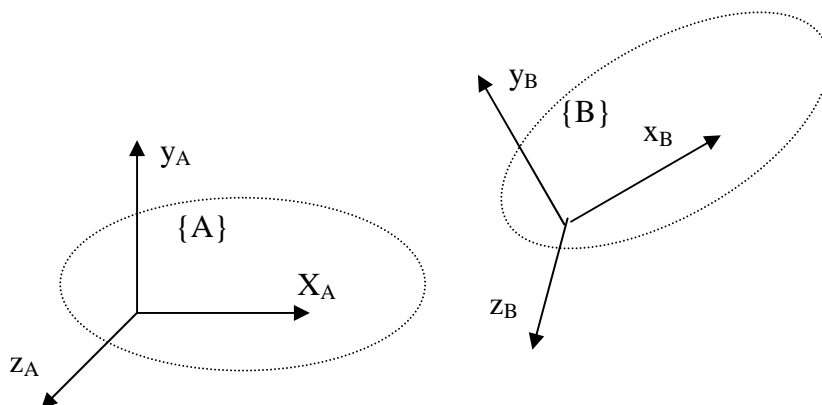


Figura 2.1. Representação da localização de corpos rígidos por meio de referenciais.

Localização de um Corpo Rígido em relação a um Referencial:

- A localização de um corpo rígido B em relação a um referencial qualquer {A} é definida pela localização do seu referencial associado {B} em relação a {A}.
- A localização de {B} em relação a {A} é completamente definida especificando:
- a posição de {B} em relação a {A}
- a orientação dos eixos de {B} em relação a os eixos de {A}.

Representação de posição de {B} em relação a {A}:

A posição de {B} em relação a {A} é definida pelo vetor de posição ${}^A P_B$ ligando a origem de {A} à origem de {B}, expresso em coordenadas de {A}:

$${}^A P_B = [{}^A p_{Bx} \quad {}^A p_{By} \quad {}^A p_{Bz}]^T$$

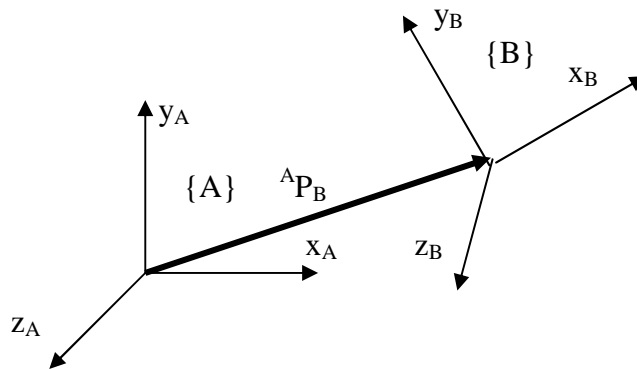


Figura 2.2. Posição de um referencial {B} em relação a um referencial {A}.

Exemplo: considere dois referenciais {A} e {B} com a mesma orientação, com a origem de {B} localizada a 5 unidades ao longo do eixo x_A . Considere um ponto P, expresso em {B} como ${}^B P = [2 \ 2 \ 1]^T$. Determine a posição de {B} em relação a {A} bem como a representação do ponto P em {A}.

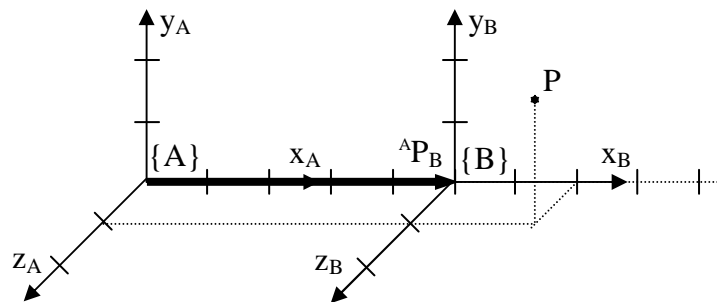


Figura 2.3. Posição em um referencial {B} transladado ao longo do eixo x_A de {A}.

Solução: A origem de {B} está localizada no ponto (5, 0, 0) em coordenadas de {A}, portanto, a posição de {B} em relação a {A} é dada por:

$${}^A P_B = [5 \ 0 \ 0]^T$$

Como os dois referenciais possuem a mesma orientação:

$${}^A P = {}^A P_B + {}^B P = [5 \ 0 \ 0]^T + [2 \ 2 \ 1]^T = [7 \ 2 \ 1]^T$$

Representação de orientação de {B} em relação a {A}:

A orientação de {B} em relação a {A} é definida pela matriz de rotação ${}^A R_B$ de dimensão 3x3, ortogonal, cujos vetores colunas são os eixos unitários de {B} expressos em coordenadas de {A}:

$${}^A R_B = [{}^A x_B \quad {}^A y_B \quad {}^A z_B]$$

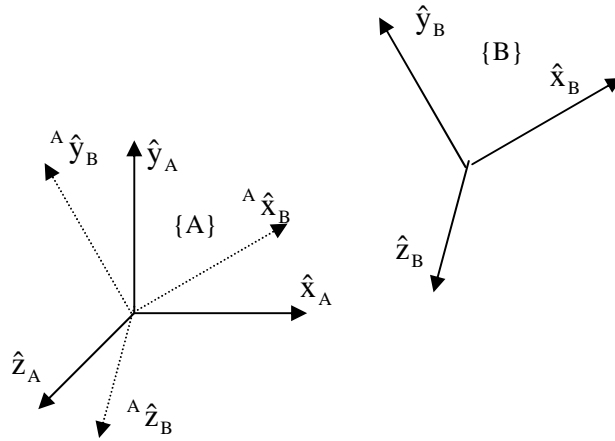


Figura 2.4. Orientação de um referencial {B} em relação a um referencial {A}.

A matriz ${}^A R_B$ é uma representação redundante de orientação, visto que possui nove elementos que satisfazem a seis restrições (os três eixos são unitários e ortogonais):

$$\begin{aligned} ({}^A x_B)^T \cdot {}^A x_B &= 1 & ({}^A y_B)^T \cdot {}^A y_B &= 1 & ({}^A z_B)^T \cdot {}^A z_B &= 1 \\ ({}^A x_B)^T \cdot {}^A y_B &= 0 & ({}^A y_B)^T \cdot {}^A z_B &= 0 & ({}^A z_B)^T \cdot {}^A x_B &= 0 \end{aligned}$$

Portanto, a matriz ${}^A R_B$ é ortogonal, ou seja:

$$({}^A R_B)^{-1} = ({}^A R_B)^T$$

Se dois referenciais {A} e {B} possuem a mesma origem, um ponto P é expresso nos referenciais {A} e {B} respectivamente como:

$${}^A P = [{}^A p_x \ {}^A p_y \ {}^A p_z]^T \quad {}^B P = [{}^B p_x \ {}^B p_y \ {}^B p_z]^T$$

Conhecendo a representação de P em {B}, ${}^B P$, bem como a representação dos eixos de {B} em {A}, é possível encontrar a representação de P em {A}, ${}^A P$:

$${}^A P = [{}^B x_A^T \cdot {}^B P \quad {}^B y_A^T \cdot {}^B P \quad {}^B z_A^T \cdot {}^B P]^T = [{}^B x_A \ {}^B y_A \ {}^B z_A]^T \cdot {}^B P \Rightarrow {}^A P = {}^B R_A^T \cdot {}^B P = {}^A R_B \cdot {}^B P$$

De forma equivalente, ${}^B P = {}^B R_A \cdot {}^A P$, portanto:

$${}^A P = {}^A R_B \cdot {}^B P = {}^A R_B \cdot {}^B R_A \cdot {}^A P \Rightarrow {}^A R_B \cdot {}^B R_A = I \Rightarrow {}^B R_A = ({}^A R_B)^{-1} = ({}^A R_B)^T$$

Dados três referenciais {A}, {B} e {C} com origens coincidentes, temos:

$${}^A P = {}^A R_B \cdot {}^B P, \quad {}^B P = {}^B R_C \cdot {}^C P, \quad {}^A P = {}^A R_C \cdot {}^C P \Rightarrow {}^A P = {}^A R_B \cdot {}^B R_C \cdot {}^C P \Rightarrow {}^A R_C = {}^A R_B \cdot {}^B R_C$$

A matriz ${}^A R_B$ pode ser representada então como ${}^A R_B = {}^A R_C \cdot {}^C R_B = ({}^C R_A)^T \cdot {}^C R_B$. Assim:

$${}^A R_B = \begin{bmatrix} ({}^C x_A)^T \cdot {}^C x_B & ({}^C x_A)^T \cdot {}^C y_B & ({}^C x_A)^T \cdot {}^C z_B \\ ({}^C y_A)^T \cdot {}^C x_B & ({}^C y_A)^T \cdot {}^C y_B & ({}^C y_A)^T \cdot {}^C z_B \\ ({}^C z_A)^T \cdot {}^C x_B & ({}^C z_A)^T \cdot {}^C y_B & ({}^C z_A)^T \cdot {}^C z_B \end{bmatrix}$$

Note que cada elemento da matriz é representado pelo produto interno entre um eixo unitário de {A} e um eixo unitário de {B}, sendo portanto igual ao cosseno do ângulo entre eles. Por esta razão, a matriz de rotação ${}^A R_B$ é também chamada de Matriz de Cossenos Diretores. Os valores dos cossenos diretores são independentes da escolha do referencial {C}.

Exemplo: considere dois referenciais coincidentes, {A} e {B}. Suponha que {B} gira um ângulo θ em torno do eixo ${}^A z_B$. Encontre a matriz de rotação ${}^A R_B = R(z, \theta)$:

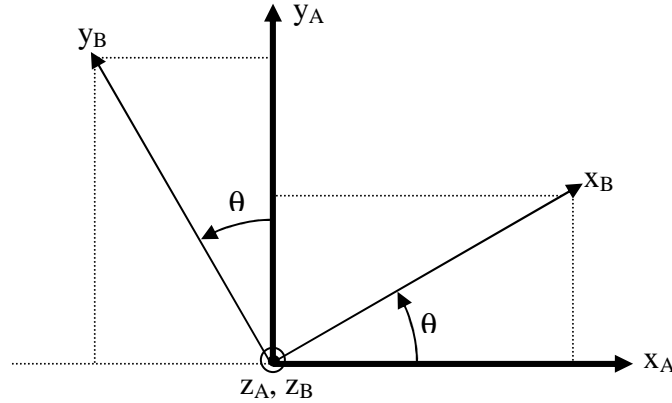


Figura 2.5. Rotação em torno do eixo z_A .

Da figura acima, através de simples relações trigonométricas, temos:

$${}^A x_B = [\cos(\theta) \quad \sin(\theta) \quad 0]^T \quad {}^A y_B = [-\sin(\theta) \quad \cos(\theta) \quad 0]^T \quad {}^A z_B = [0 \quad 0 \quad 1]^T$$

$$\Rightarrow {}^A R_B = R(z, \theta) = \begin{bmatrix} \cos(\theta) & -\sin(\theta) & 0 \\ \sin(\theta) & \cos(\theta) & 0 \\ 0 & 0 & 1 \end{bmatrix}$$

De forma análoga, para rotações em torno dos eixos x_A e y_A , temos respectivamente:

$$\Rightarrow {}^A R_B = R(x, \theta) = \begin{bmatrix} 1 & 0 & 0 \\ 0 & \cos(\theta) & -\sin(\theta) \\ 0 & \sin(\theta) & \cos(\theta) \end{bmatrix}$$

$$\Rightarrow {}^A R_B = R(y, \theta) = \begin{bmatrix} \cos(\theta) & 0 & \sin(\theta) \\ 0 & 1 & 0 \\ -\sin(\theta) & 0 & \cos(\theta) \end{bmatrix}$$

Exemplo: considere dois referenciais coincidentes, {A} e {B}. Suponha que {B} gira um ângulo θ em torno do eixo ${}^A z_B$. Considere um ponto P expresso em coordenadas de {B}, ${}^B P$. Encontre a representação do ponto P em coordenadas de {A}, ${}^A P$:

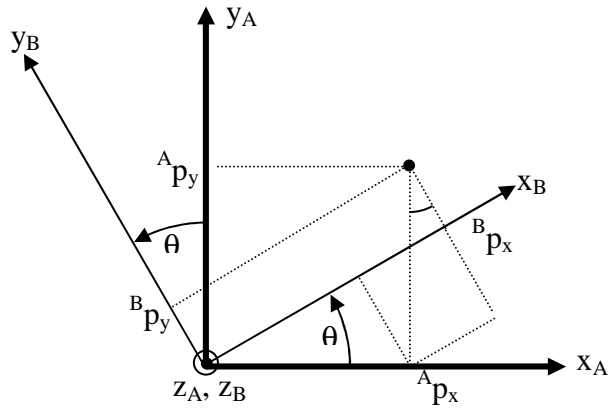


Figura 2.6. Rotação de um ponto em torno do eixo z_A .

Da figura acima, através de relações trigonométricas simples, temos:

$${}^B p_x = {}^A p_x \cdot \cos(\theta) + {}^A p_y \cdot \sin(\theta) \quad {}^B p_y = {}^A p_y \cdot \cos(\theta) - {}^A p_x \cdot \sin(\theta) \quad {}^B p_z = {}^A p_z$$

Resolvendo para ${}^A p_x, {}^A p_y, {}^A p_z$:

$${}^A p_x = {}^B p_x \cdot \cos(\theta) - {}^B p_y \cdot \sin(\theta) \quad {}^A p_y = {}^B p_x \cdot \sin(\theta) + {}^B p_y \cdot \cos(\theta) \quad {}^A p_z = {}^B p_z$$

Que em notação matricial, como era de esperar, corresponde a:

$$\begin{bmatrix} {}^A p_x \\ {}^A p_y \\ {}^A p_z \end{bmatrix} = \begin{bmatrix} \cos(\theta) & -\sin(\theta) & 0 \\ \sin(\theta) & \cos(\theta) & 0 \\ 0 & 0 & 1 \end{bmatrix} \cdot \begin{bmatrix} {}^B p_x \\ {}^B p_y \\ {}^B p_z \end{bmatrix} \Rightarrow {}^A P = R(z, \theta) \cdot {}^B P$$

Outras representações de orientação:

A matriz de orientação ${}^A R_B$ representa a orientação de $\{B\}$ em relação a $\{A\}$ de modo redundante, visto que seus nove elementos possuem seis relações de dependência (as colunas de ${}^A R_B$ são vetores unitários e perpendiculares entre si). Assim, de forma análoga à especificação de posição, três parâmetros independentes são suficientes para especificar orientação no espaço tridimensional. Existem vários esquemas e convenções utilizados para fazer esta especificação. A seguir, apresentaremos alguns deles.

Ângulos de Euler ZXZ:

Neste esquema, a orientação de $\{B\}$ em relação a $\{A\}$ é representada por três ângulos de rotação (ϕ, θ, ψ) , exercutados nessa ordem, respectivamente, em torno dos eixos z, x e z de um referencial móvel, inicialmente coincidente com $\{A\}$ e alinhado com $\{B\}$ após as três rotações. A matriz de rotação equivalente a (ϕ, θ, ψ) é dada por:

$$R_{\phi\theta\psi} = R(z, \phi) \cdot R(x, \theta) \cdot R(z, \psi)$$

Definimos a seguinte nomenclatura: $\sin(\theta) = s\theta$, $\cos(\theta) = c\theta$. Assim:

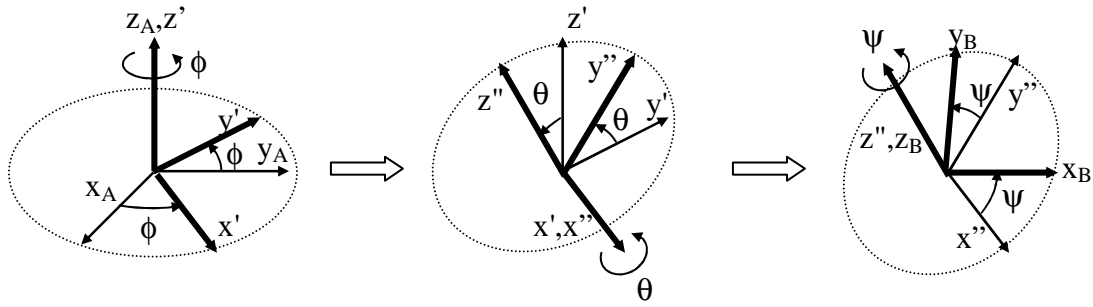


Figura 2.7. Ângulos de Euler ZXZ.

$$R_{\phi\theta\psi} = \begin{bmatrix} c\phi & -s\phi & 0 \\ s\phi & c\phi & 0 \\ 0 & 0 & 1 \end{bmatrix} \cdot \begin{bmatrix} 1 & 0 & 0 \\ 0 & c\theta & -s\theta \\ 0 & s\theta & c\theta \end{bmatrix} \cdot \begin{bmatrix} c\psi & -s\psi & 0 \\ s\psi & c\psi & 0 \\ 0 & 0 & 1 \end{bmatrix}$$

$$\Rightarrow R_{\phi\theta\psi} = \begin{bmatrix} (c\phi.c\psi - s\phi.c\theta.s\psi) & (-c\phi.s\psi - s\phi.c\theta.c\psi) & (s\phi.s\theta) \\ (s\phi.c\psi + c\phi.c\theta.s\psi) & (-s\phi.s\psi + c\phi.c\theta.c\psi) & (-c\phi.s\theta) \\ (s\theta.s\psi) & (s\theta.c\psi) & (c\theta) \end{bmatrix}$$

Conhecendo-se a representação da orientação na forma de uma matriz de rotação $R_{\phi\theta\psi}$, é possível encontrar os ângulos de Euler ZXZ a partir de relações entre os seus elementos. Para evitar ambigüidades, utilizaremos a função arco-tangente definida nos quatro quadrantes, $\text{atan2}(a, b) = \arg(a + j.b) = \text{argumento do número complexo } a + j.b$, de tal modo que $\theta = \text{atan2}(\text{sen}(\theta), \cos(\theta)) = \text{atan2}(k.\text{sen}(\theta), k.\cos(\theta))$, com $k > 0$. Assim:

$$\theta = \text{atan2}(\pm[R_{31}^2 + R_{32}^2]^{1/2}, R_{33}) \quad \phi = \text{atan2}(R_{13}/\text{sen}(\theta), -R_{23}/\text{sen}(\theta))$$

$$\psi = \text{atan2}(R_{31}/\text{sen}(\theta), R_{32}/\text{sen}(\theta))$$

Verifica-se que a solução para os ângulos de Euler não é única. Existem dois conjuntos de ângulos possíveis dependendo do sinal da raiz quadrada. Tomando o sinal positivo, o que equivale a limitar θ ao intervalo $0 \leq \theta \leq \pi$, eliminamos esta ambigüidade. Verifica-se também que, para $\theta = 0$ ou $\theta = \pi$, a solução degenera (ocorre uma divisão por zero), o que resulta em infinitas soluções. Isto ocorre porque as rotações ϕ e ψ ocorrem em torno do mesmo eixo espacial e o ângulo resultante da soma destes ângulos pode ser obtido de infinitos pares (ϕ, ψ) diferentes. Neste caso, é necessário arbitrar um deles. Assim:

$$\text{Para } \theta = 0 \quad \Rightarrow \quad \phi + \psi = \text{atan2}(R_{21}, R_{11})$$

$$\text{Para } \theta = \pi \quad \Rightarrow \quad \phi - \psi = \text{atan2}(R_{21}, R_{11})$$

Ângulos de Euler ZYZ:

De forma análoga ao caso anterior, neste esquema, a orientação de {B} em relação a {A} é representada por três ângulos de rotação (ϕ, θ, ψ) , executados nessa ordem, respectivamente, em torno dos eixos z, y e z de um referencial móvel, inicialmente coincidente com {A} e alinhado com {B} após as três rotações. A matriz de rotação equivalente a (ϕ, θ, ψ) é dada por:

$$R_{\phi\theta\psi} = R(z, \phi).R(y, \theta).R(z, \psi)$$

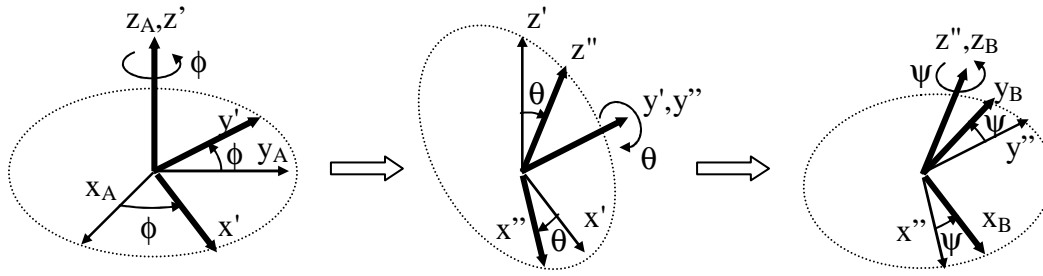


Figura 2.8. Ângulos de Euler ZYZ.

$$R_{\phi\theta\psi} = \begin{bmatrix} c\phi & -s\phi & 0 \\ s\phi & c\phi & 0 \\ 0 & 0 & 1 \end{bmatrix} \cdot \begin{bmatrix} c\theta & 0 & s\theta \\ 0 & 1 & 0 \\ -s\theta & 0 & c\theta \end{bmatrix} \cdot \begin{bmatrix} c\psi & -s\psi & 0 \\ s\psi & c\psi & 0 \\ 0 & 0 & 1 \end{bmatrix}$$

$$\Rightarrow R_{\phi\theta\psi} = \begin{bmatrix} (c\phi \cdot c\theta \cdot c\psi - s\phi \cdot s\psi) & (-c\phi \cdot c\theta \cdot s\psi - s\phi \cdot c\psi) & (c\phi \cdot s\theta) \\ (s\phi \cdot c\theta \cdot c\psi + c\phi \cdot s\psi) & (-s\phi \cdot c\theta \cdot s\psi + c\phi \cdot c\psi) & (s\phi \cdot s\theta) \\ (-s\theta \cdot c\psi) & (s\theta \cdot s\psi) & (c\theta) \end{bmatrix}$$

Usando a mesma metodologia do caso anterior, é possível obter a relação inversa, que expressa os ângulos de Euler ZYZ em função de uma matriz de rotação equivalente:

$$\theta = \text{atan2}(\pm[R_{31}^2 + R_{32}^2]^{1/2}, R_{33}) \quad \phi = \text{atan2}(R_{23}/\sin(\theta), R_{13}/\sin(\theta))$$

$$\psi = \text{atan2}(R_{32}/\sin(\theta), -R_{31}/\sin(\theta))$$

Novamente, dois conjuntos de ângulos de Euler satisfazem a solução. Tomando o sinal positivo da raiz quadrada, o que equivale a limitar θ ao intervalo $0 \leq \theta \leq \pi$, eliminamos esta ambigüidade. Da mesma forma do que no caso anterior, verifica-se também que, para $\theta = 0$ ou $\theta = \pi$, a solução degenera (ocorre uma divisão por zero), o que resulta em infinitas soluções, as quais são devidas à ocorrência de duas rotações em torno do mesmo eixo. Assim:

$$\begin{aligned} \text{Para } \theta = 0 & \Rightarrow \psi + \phi = \text{atan2}(R_{21}, R_{11}) \\ \text{Para } \theta = \pi & \Rightarrow \psi - \phi = \text{atan2}(R_{21}, -R_{11}) \end{aligned}$$

Ângulos de Euler ZYX:

De forma análoga aos casos anteriores, neste esquema, a orientação de {B} em relação a {A} é representada por três ângulos de rotação (ϕ , θ , ψ), executados nessa ordem, respectivamente, em torno dos eixos z, y e x de um referencial móvel, inicialmente coincidente com {A} e alinhado com {B} após as três rotações. A matriz de rotação equivalente a (ϕ , θ , ψ) é dada por:

$$R_{\phi\theta\psi} = R(z, \phi) \cdot R(y, \theta) \cdot R(x, \psi)$$

$$R_{\phi\theta\psi} = \begin{bmatrix} c\phi & -s\phi & 0 \\ s\phi & c\phi & 0 \\ 0 & 0 & 1 \end{bmatrix} \cdot \begin{bmatrix} c\theta & 0 & s\theta \\ 0 & 1 & 0 \\ -s\theta & 0 & c\theta \end{bmatrix} \cdot \begin{bmatrix} 1 & 0 & 0 \\ 0 & c\psi & -s\psi \\ 0 & s\psi & c\psi \end{bmatrix}$$

$$\Rightarrow R_{\phi\theta\psi} = \begin{bmatrix} (c\phi.c\theta) & (c\phi.s\theta.s\psi - s\phi.c\psi) & (c\phi.s\theta.c\psi + s\phi.s\psi) \\ (s\phi.c\theta) & (s\phi.s\theta.s\psi + c\phi.c\psi) & (s\phi.s\theta.c\psi - c\phi.s\psi) \\ (-s\theta) & (c\theta.s\psi) & (c\theta.c\psi) \end{bmatrix}$$

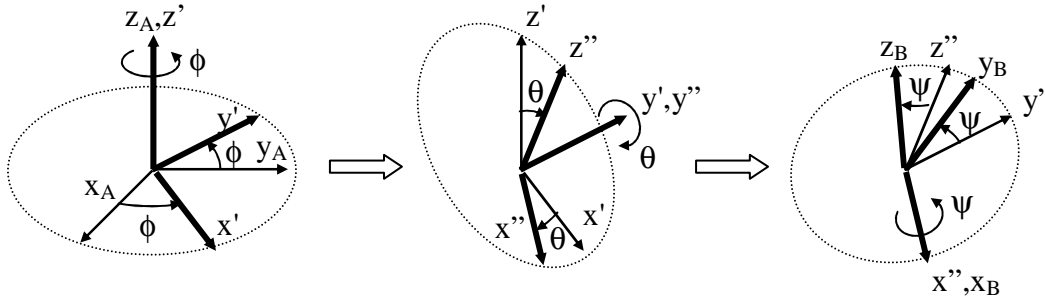


Figura 2.9. Ângulos de Euler ZYX.

Usando a mesma metodologia dos casos anteriores, é possível obter a relação inversa, que expressa os ângulos de Euler ZYX em função de uma matriz de rotação equivalente:

$$\begin{aligned} \theta &= \text{atan2}(-R_{31}, \pm[R_{32}^2 + R_{33}^2]^{1/2}) & \phi &= \text{atan2}(R_{21}/\cos(\theta), R_{11}/\cos(\theta)) \\ \psi &= \text{atan2}(R_{32}/\cos(\theta), R_{33}/\cos(\theta)) \end{aligned}$$

Novamente, dois conjuntos de ângulos de Euler satisfazem a solução. Tomando o sinal positivo da raiz quadrada, o que equivale a limitar θ ao intervalo $-\pi/2 \leq \theta \leq \pi/2$, eliminamos esta ambigüidade. Da forma semelhante aos casos anteriores, verifica-se também que, para $\theta = -\pi/2$ ou $\theta = \pi/2$, a solução degenera (ocorre uma divisão 0/0), o que resulta em infinitas soluções, as quais são devidas à ocorrência de duas rotações em torno do mesmo eixo. Assim:

$$\begin{aligned} \text{Para } \theta = -\pi/2 &\Rightarrow \psi + \phi = \text{atan2}(-R_{12}, R_{22}) \\ \text{Para } \theta = \pi/2 &\Rightarrow (\psi - \phi) = \text{atan2}(R_{12}, R_{22}) \end{aligned}$$

Os ângulos de Euler ZYX são também chamados de ângulos de Rolamento, Lançamento e Guinada (*Roll, Pitch, Yaw*), termos derivados dos movimentos de rotação de naves ou aeronaves em torno dos seus eixos principais.

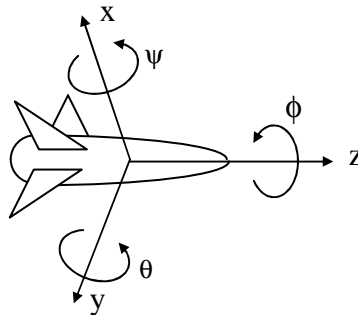


Figura 2.10. Ângulos de Rolamento, Lançamento e Guinada: ϕ , θ , ψ .

Representação equivalente Ângulo/Eixo :

Neste esquema, a orientação de {B} em relação a {A} é de forma redundante por meio de quatro parâmetros: as três componentes (k_x , k_y , k_z) de um eixo unitário direcional k e um ângulo de rotação θ em torno deste eixo. Observação: usando um eixo não unitário, o ângulo de giro θ pode ser codificado no módulo do vetor k , de modo a utilizar apenas três parâmetros (representação não redundante da orientação).

A matriz de rotação equivalente $R_{k\theta}$ pode ser obtida a partir de (k_x , k_y , k_z , θ) usando o seguinte procedimento:

- Alinhar o eixo k com o eixo z do referencial {A} através de duas rotações: giro de um ângulo α em torno do eixo x_A , seguido de um giro de um ângulo $-\beta$ em torno do eixo y_A .
- Girar um ângulo θ em torno do eixo z_A (que agora coincide com o eixo k).
- Retornar o eixo k ao seu alinhamento original revertendo as duas rotações iniciais: um giro de um ângulo β em torno do eixo y_A seguido de um giro de um ângulo α em torno do eixo x_A .

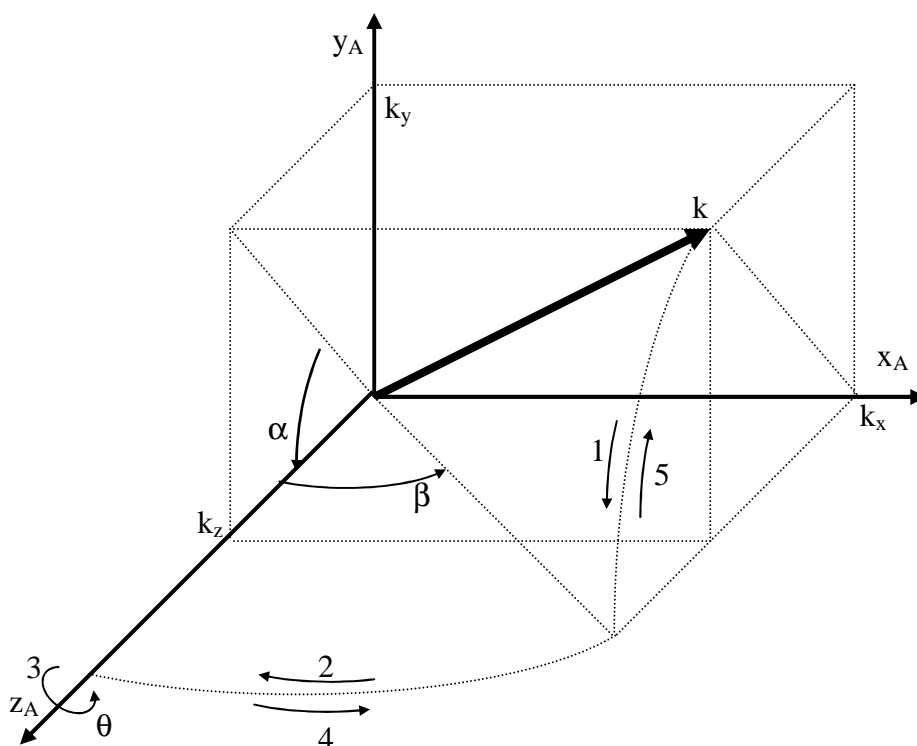


Figura 2.11. Rotação de um ângulo θ em torno de um eixo arbitrário k .

$$R_{k\theta} = R(x, -\alpha) \cdot R(y, \beta) \cdot R(z, \theta) \cdot R(y, -\beta) \cdot R(x, \alpha)$$

$$\Rightarrow R_{k\theta} = \begin{bmatrix} 1 & 0 & 0 \\ 0 & c\alpha & s\alpha \\ 0 & -s\alpha & c\alpha \end{bmatrix} \cdot \begin{bmatrix} c\beta & 0 & s\beta \\ 0 & 1 & 0 \\ -s\beta & 0 & c\beta \end{bmatrix} \cdot \begin{bmatrix} c\theta & -s\theta & 0 \\ c\theta & s\theta & 0 \\ 0 & 0 & 1 \end{bmatrix} \cdot \begin{bmatrix} c\beta & 0 & -s\beta \\ 0 & 1 & 0 \\ s\beta & 0 & c\beta \end{bmatrix} \cdot \begin{bmatrix} 1 & 0 & 0 \\ 0 & c\alpha & -s\alpha \\ 0 & s\alpha & c\alpha \end{bmatrix}$$

Definindo $v\theta = \text{vers}(\theta) = 1 - \cos(\theta)$ e substituindo os termos dependentes de α e β por:

$$s\alpha = k_y/[k_y^2 + k_z^2]^{1/2} \quad c\alpha = k_z/[k_y^2 + k_z^2]^{1/2} \quad s\beta = k_x \quad c\beta = [k_y^2 + k_z^2]^{1/2}$$

$$\Rightarrow R_{k\theta} = \begin{bmatrix} (k_x^2 \cdot v\theta + c\theta) & (k_x \cdot k_y \cdot v\theta - k_z \cdot s\theta) & (k_x \cdot k_z \cdot v\theta + k_y \cdot s\theta) \\ (k_x \cdot k_y \cdot v\theta + k_z \cdot s\theta) & (k_y^2 \cdot v\theta + c\theta) & (k_y \cdot k_z \cdot v\theta - k_x \cdot s\theta) \\ (k_x \cdot k_z \cdot v\theta - k_y \cdot s\theta) & (k_y \cdot k_z \cdot v\theta + k_x \cdot s\theta) & (k_z^2 \cdot v\theta + c\theta) \end{bmatrix}$$

A partir de relações entre elementos da matriz acima, é possível obter a representação ângulo-eixo equivalente à representação $R_{k\theta}$:

$$\theta = \cos^{-1}((R_{11} + R_{22} + R_{33} - 1)/2)$$

$$k_x = (R_{32} - R_{23})/(2 \cdot s\theta)$$

$$k_y = (R_{13} - R_{31})/(2 \cdot s\theta)$$

$$k_z = (R_{21} - R_{12})/(2 \cdot s\theta)$$

A solução acima é válida $0 \leq \theta \leq \pi$. Para uma dada matriz $R_{k\theta}$, existem duas soluções possíveis: (k, θ) e $(-k, -\theta)$. Verifica-se também que, para $\theta = 0$ ou $\theta = \pi$, a solução degenera (ocorre uma divisão por zero), o que resulta em infinitas soluções, (o eixo k torna-se indefinido). Assim, para pequenos ângulos, a solução é mal condicionada.

Exemplo: dados os referenciais $\{A\}$ e $\{B\}$ mostrados na figura abaixo, obtenha a matriz de rotação ${}^A R_B$ bem como a sua representação em ângulos de Euler ZXZ, ZYZ, ZYX e a representação equivalente ângulo/eixo.

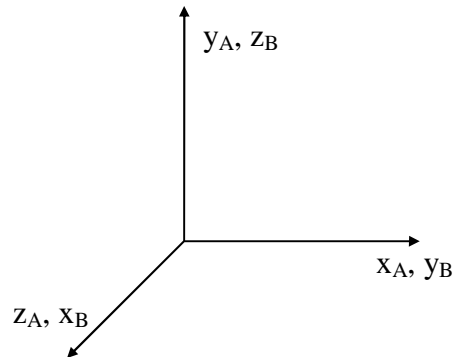


Figura 2.12. Exemplo de orientação relativa entre dois referenciais.

Expressando os eixos de $\{B\}$ em $\{A\}$, obtemos a sua orientação relativa:

$${}^A R_B = \begin{bmatrix} 0 & 1 & 0 \\ 0 & 0 & 1 \\ 1 & 0 & 0 \end{bmatrix}$$

Os ângulos de Euler ZXZ são dados por:

$$\phi = \text{atan2}(R_{13}, -R_{23}) = \text{atan2}(0, -1) = \pi$$

$$\theta = \text{atan2}([R_{31}^2 + R_{32}^2]^{1/2}, R_{33}) = \text{atan2}(1, 0) = \pi/2$$

$$\psi = \text{atan2}(R_{31}, R_{32}) = \pi/2$$

Os ângulos de Euler ZYZ são dados por:

$$\begin{aligned}\phi &= \text{atan2}(R_{23}, R_{13}) = \text{atan2}(1, 0) = \pi/2 \\ \theta &= \text{atan2}([R_{31}^2 + R_{32}^2]^{1/2}, R_{33}) = \text{atan2}(1, 0) = \pi/2 \\ \psi &= \text{atan2}(R_{32}, -R_{31}) = \text{atan2}(0, -1) = \pi\end{aligned}$$

Para o caso dos ângulos de Euler ZYX (*roll, pitch, yaw*), temos que ϕ é indefinido, pois $\phi = \text{atan2}(R_{21}, R_{11}) = \text{atan2}(0, 0)$. Neste caso, teremos infinitas soluções:

$$\begin{aligned}\theta &= \text{atan2}(-R_{31}, [R_{32}^2 + R_{33}^2]^{1/2}) = \text{atan2}(-1, 0) = -\pi/2 \\ \psi + \phi &= \text{atan2}(-R_{12}, R_{22}) = \text{atan2}(-1, 0) = -\pi/2\end{aligned}$$

Para obter uma solução é necessário arbitrar um dos ângulos. Impondo o ângulo $\phi = 0$, temos que $\psi = -\pi/2$.

A representação equivalente Ângulo/Eixo é dada por:

$$\theta = \cos^{-1}((R_{11} + R_{22} + R_{33} - 1)/2) = \cos^{-1}(-1/2) = 2\pi/3$$

$$\begin{aligned}k_x &= (R_{32} - R_{23})/(2.s\theta) = -(1/3)^{1/2} \\ k_y &= (R_{13} - R_{31})/(2.s\theta) = -(1/3)^{1/2} \\ k_z &= (R_{21} - R_{12})/(2.s\theta) = -(1/3)^{1/2}\end{aligned}$$

1.2. Transformações Homogêneas:

Mapeamentos:

Dados dois referenciais $\{A\}$ e $\{B\}$ e um ponto P , conhecendo as coordenadas ${}^B P$ do mesmo no referencial $\{B\}$, as coordenadas ${}^A P$ do mesmo no referencial $\{A\}$ podem ser obtidas, desde que se conheça a posição ${}^A P_B$ e orientação ${}^A R_B$ de $\{B\}$ em relação a $\{A\}$, através de um mapeamento de ${}^B P$ para ${}^A P$. A seguir, define-se $\{U\}$ como um referencial universal.

Mapeamento de Translação:

Um mapeamento de translação caracteriza-se por mapear um ponto de um referencial $\{B\}$ para um referencial $\{A\}$, onde $\{A\}$ e $\{B\}$ possuem origens diferentes mas orientações coincidentes (${}^U P_A \neq {}^U P_B$, ${}^U R_A = {}^U R_B$). Como $\{A\}$ e $\{B\}$ possuem a mesma orientação, as coordenadas de P em $\{A\}$ podem ser expressas diretamente através de uma soma vetorial:

$${}^A P = {}^B P + {}^A P_B$$

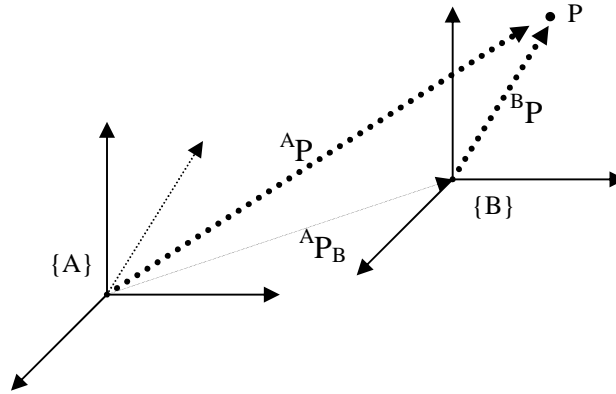


Figura 2.13. Mapeamento de Translação.

Mapeamento de Rotação:

Um mapeamento de rotação caracteriza-se por mapear um ponto de um referencial {B} para um referencial {A}, onde {A} e {B} possuem origens coincidentes mas orientações diferentes (${}^U P_A = {}^U P_B$, ${}^U R_A \neq {}^U R_B$). Como {A} e {B} possuem a mesma origem, as coordenadas de P em {A} podem ser expressas como a projeção de ${}^B P$ nos eixos de {A}:

$${}^A p_x = {}^B x_A \cdot {}^B P \quad {}^A p_y = {}^B y_A \cdot {}^B P \quad {}^A p_z = {}^B z_A \cdot {}^B P$$

ou, matricialmente,

$${}^A P = [{}^B x_A \cdot {}^B P \quad {}^B y_A \cdot {}^B P \quad {}^B z_A \cdot {}^B P]^T = [{}^B x_A \quad {}^B y_A \quad {}^B z_A]^T \cdot {}^B P \Rightarrow {}^A P = {}^B R_A \cdot {}^B P$$

Mas, como ${}^B R_A$ é uma matriz ortogonal, ${}^B R_A^T = {}^B R_A^{-1} = {}^A R_B$, assim, o mapeamento de rotação é definido por:

$${}^A P = {}^A R_B \cdot {}^B P$$

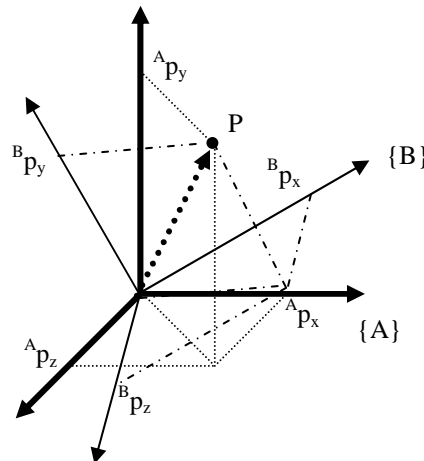


Figura 2.14. Mapeamento de Rotação.

Mapeamento Geral:

Quando os sistemas de referência $\{A\}$ e $\{B\}$ diferem tanto em posição como em orientação (${}^U P_A \neq {}^U P_B$, ${}^U R_A \neq {}^U R_B$), a representação de um ponto P em $\{A\}$ pode ser obtida a partir da sua representação em $\{B\}$ através do seguinte procedimento:

- Por meio de um mapeamento de rotação, obter a representação ${}^I P$ de P em relação a um referencial intermediário $\{I\}$, tal que este possua a mesma origem que $\{B\}$, mas esteja alinhado com o referencial $\{A\}$, (${}^U P_I = {}^U P_B$ e ${}^U R_I = {}^U R_A$).

$${}^I P = {}^I R_B \cdot {}^B P = {}^A R_B \cdot {}^B P$$

- Representar ${}^I P$ em $\{A\}$ através de um mapeamento de translação:

$${}^A P = {}^I P + {}^I P_B = {}^I P + {}^A P_B$$

$$\text{Assim: } {}^A P = {}^A R_B \cdot {}^B P + {}^A P_B$$

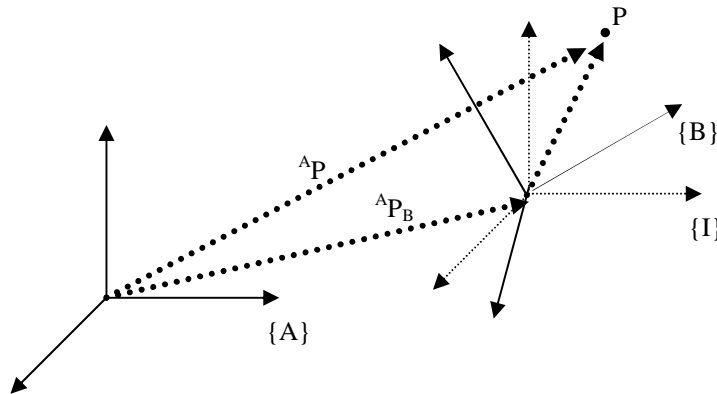


Figura 2.15. Mapeamento de Geral.

Transformação Homogênea:

O mapeamento geral pode ser representado matricialmente da seguinte maneira:

$$\begin{bmatrix} {}^A P \\ 1 \end{bmatrix} = \begin{bmatrix} {}^A R_B & {}^A P_B \\ 0 & 0 & 0 & 1 \end{bmatrix} \cdot \begin{bmatrix} {}^B P \\ 1 \end{bmatrix}$$

$$\text{onde: } \begin{bmatrix} {}^A R_B & {}^A P_B \\ 0 & 0 & 0 & 1 \end{bmatrix} = {}^A T_B$$

${}^A T_B$ é a Matriz de Transformação Homogênea que representa de modo compacto a posição e orientação de $\{B\}$ em relação a $\{A\}$. A linha inferior da equação matricial foi acrescentada de modo a resultar numa matriz ${}^A T_B$ quadrada 4x4 para a qual exista matriz inversa. Os vetores de posição 4x1 (último elemento igual a 1) são vetores de coordenadas homogêneas. Doravante, para fins de simplificação, usaremos a nomenclatura ${}^A P$ tanto para vetores de posição 3x1, como para vetores em coordenadas homogêneas, sempre que o contexto torne obvio as suas dimensões.

Operadores de Movimento:

O movimento de um referencial em relação a outro pode ser descrito usando transformações homogêneas apropriadas que definam as mudanças de posição e orientação relativas ao se passar de um referencial para outro.

Operadores de Translação:

Dado um vetor ${}^A\mathbf{P}_B$, o Operador de Translação $T({}^A\mathbf{P}_B/|{}^A\mathbf{P}_B|, |{}^A\mathbf{P}_B|)$ aplicado sobre um vetor ${}^B\mathbf{P}$ o translada uma distância $|{}^A\mathbf{P}_B|$ ao longo da direção do vetor unitário ${}^A\mathbf{P}_B/|{}^A\mathbf{P}_B|$, resultando no vetor transladado ${}^A\mathbf{P}$ (em coordenadas homogêneas):

$${}^A\mathbf{P} = T({}^A\mathbf{P}_B/|{}^A\mathbf{P}_B|, |{}^A\mathbf{P}_B|).{}^B\mathbf{P}$$

onde, sendo I a matriz identidade 3×3 :

$$T({}^A\mathbf{P}_B/|{}^A\mathbf{P}_B|, |{}^A\mathbf{P}_B|) = \begin{bmatrix} I & {}^A\mathbf{P}_B \\ 0 & 1 \end{bmatrix}$$

Outra maneira de abordar este problema é considerar o ponto ${}^B\mathbf{P}$ fixo em relação ao referencial $\{B\}$, inicialmente coincidente com o referencial $\{A\}$. A seguir, deslocar a origem de $\{B\}$ até a posição ${}^A\mathbf{P}_B$ relativa a $\{A\}$ através de um movimento de translação (mantendo a sua orientação paralela à orientação de $\{A\}$). Conseqüentemente, o ponto ${}^B\mathbf{P}$ sofrerá também uma translação em relação ao referencial $\{A\}$, visto que ${}^B\mathbf{P}$ é fixo em $\{B\}$. Conhecendo ${}^B\mathbf{P}$ e o movimento de translação de $\{B\}$ em relação a $\{A\}$, (${}^A\mathbf{P}_B$), o operador de translação permite obter a representação ${}^A\mathbf{P}$ do ponto transladado em relação ao referencial $\{A\}$. Deste modo, em coordenadas cartesianas, temos:

$${}^A\mathbf{P} = {}^B\mathbf{P} + {}^A\mathbf{P}_B$$

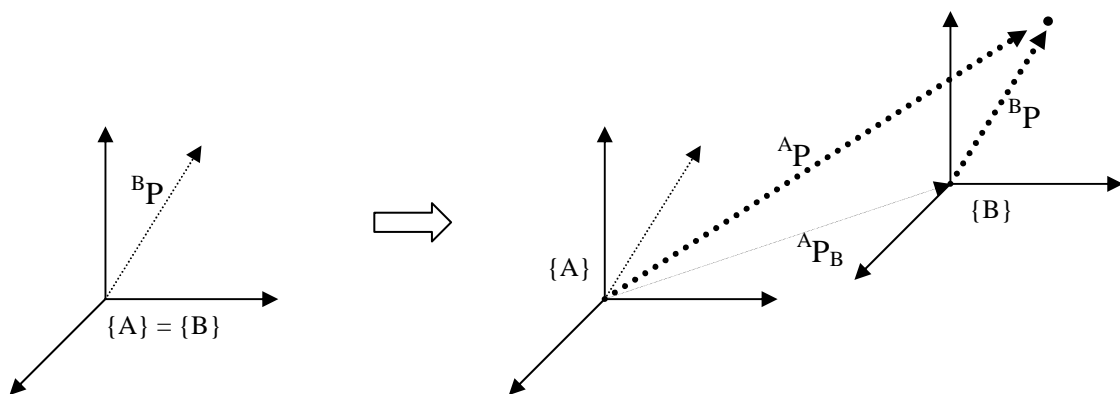


Figura 2.16. Operador de Translação.

Assim, os operadores de translação para um deslocamento linear d ao longo dos eixos x , y e z são dados respectivamente por:

$$T(x,d) = \begin{bmatrix} 1 & 0 & 0 & d \\ 0 & 1 & 0 & 0 \\ 0 & 0 & 1 & 0 \\ 0 & 0 & 0 & 1 \end{bmatrix}$$

$$T(y,d) = \begin{bmatrix} 1 & 0 & 0 & 0 \\ 0 & 1 & 0 & d \\ 0 & 0 & 1 & 0 \\ 0 & 0 & 0 & 1 \end{bmatrix}$$

$$T(z,d) = \begin{bmatrix} 1 & 0 & 0 & 0 \\ 0 & 1 & 0 & 0 \\ 0 & 0 & 1 & d \\ 0 & 0 & 0 & 1 \end{bmatrix}$$

Operadores de Rotação:

Dado um vetor unitário k e um ângulo θ , o Operador de Rotação $R(k,\theta)$, quando aplicado sobre um vetor ${}^B P$, faz com que este gire o ângulo θ em torno do eixo k , resultando em um vetor rotacionado ${}^A P$, em coordenadas homogêneas:

$${}^A P = R(k,\theta) \cdot {}^B P$$

$$R(k,\theta) = \begin{bmatrix} & & 0 \\ & {}^A R_B & 0 \\ & & 0 \\ 0 & 0 & 0 & 1 \end{bmatrix}$$

onde ${}^A R_B$ é a matriz de rotação 3x3 equivalente à representação ângulo/eixo (k,θ) . Outra maneira de abordar este problema é considerar o ponto ${}^B P$ fixo em relação ao referencial $\{B\}$, inicialmente coincidente com o referencial $\{A\}$. A seguir, girar $\{B\}$ até a orientação ${}^A R_B$ relativa a $\{A\}$ através de um movimento de rotação θ em torno do eixo k , (mantendo a origem de $\{B\}$ coincidente com a origem de $\{A\}$). Conseqüentemente, o ponto ${}^B P$ sofrerá também uma rotação em relação ao referencial $\{A\}$, visto que ${}^B P$ é fixo em $\{B\}$. Conhecendo ${}^B P$ e o movimento de rotação de $\{B\}$ em relação a $\{A\}$, (${}^A R_B$), o operador de rotação permite obter a representação ${}^A P$ do ponto rotacionado em relação ao referencial $\{A\}$. Deste modo, em coordenadas cartesianas, temos:

$${}^A P = {}^A R_B \cdot {}^B P$$

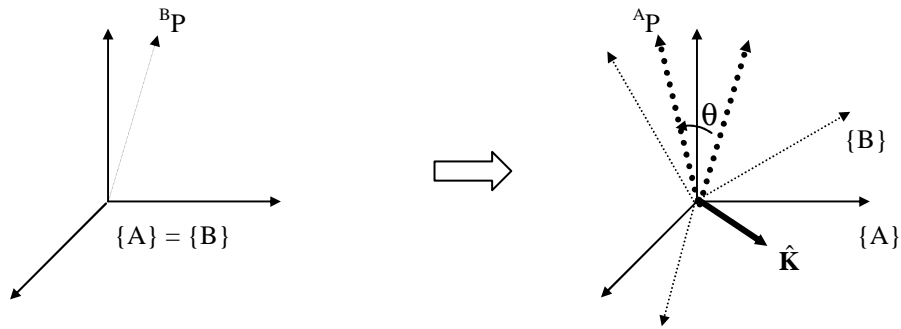


Figura 2.17. Operador de Rotação.

Assim, os operadores de rotação para um deslocamento angular θ em torno dos eixos x, y e z são dados respectivamente por:

$$R(x, \theta) = \begin{bmatrix} 1 & 0 & 0 & 0 \\ 0 & c\theta & -s\theta & 0 \\ 0 & s\theta & c\theta & 0 \\ 0 & 0 & 0 & 1 \end{bmatrix}$$

$$R(y, \theta) = \begin{bmatrix} c\theta & 0 & s\theta & 0 \\ 0 & 1 & 0 & 0 \\ -s\theta & 0 & c\theta & 0 \\ 0 & 0 & 0 & 1 \end{bmatrix}$$

$$R(z, \theta) = \begin{bmatrix} 1 & 0 & 0 & 0 \\ 0 & c\theta & -s\theta & 0 \\ 0 & s\theta & c\theta & 0 \\ 0 & 0 & 0 & 1 \end{bmatrix}$$

Operadores de Transformação:

Um Operador de Transformação aplicado sobre um vetor ${}^B P$ resulta num vetor ${}^A P$ (em coordenadas homogêneas), movimentado para uma localização genérica em relação à sua localização inicial. Esta nova localização pode ser melhor descrita matematicamente como uma combinação de uma operação de rotação de um ângulo θ em torno do vetor unitário \hat{k} seguida de uma operação de translação por uma distância $|{}^A P_B|$ ao longo de um eixo unitário ${}^A P_B / |{}^A P_B|$.

Assim, em coordenadas cartesianas, a operação de transformação geral pode ser descrita matematicamente como:

$${}^A P = {}^A R_B \cdot {}^B P + {}^A P_B$$

Onde ${}^A R_B$ representa a matriz de rotação equivalente à rotação de um ângulo θ em torno do vetor \hat{k} . Então, o operador de transformação geral é dado por:

$${}^A T_B = T({}^A P_B / |{}^A P_B|, |{}^A P_B|). R(k, \theta) \Rightarrow {}^A T_B = \begin{bmatrix} {}^A R_B & {}^A P_B \\ 0 & 0 & 0 & 1 \end{bmatrix}$$

O operador de transformação ${}^A T_B$, aplicado a um ponto ${}^B P$ (em coordenadas homogêneas), resulta no ponto ${}^A P$ (também em coordenadas homogêneas):

$${}^A P = {}^A T_B \cdot {}^B P$$

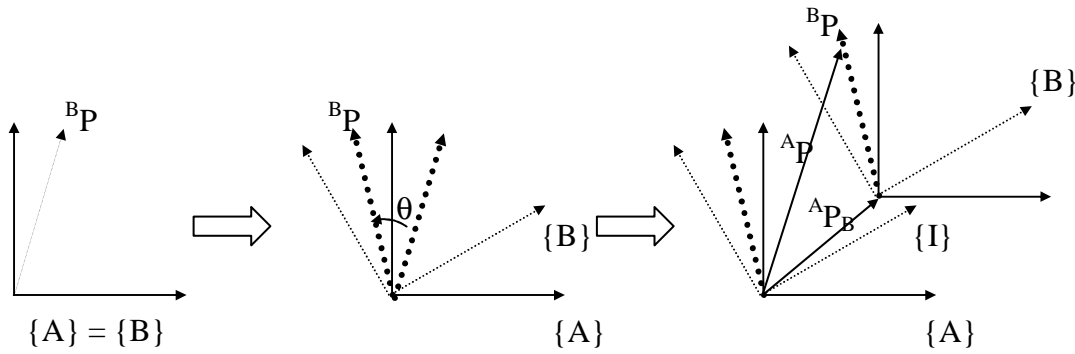


Figura 2.19. Operador de Transformação.

Exemplo: Dado o referencial $\{B\}$ rotacionado 45° em torno do eixo z_A e transladado a uma distância de duas unidades ao longo do eixo x_A do referencial $\{A\}$, determinar as coordenadas do ponto ${}^B P = [1 \ 1 \ 0]^T$ em relação ao referencial $\{A\}$.

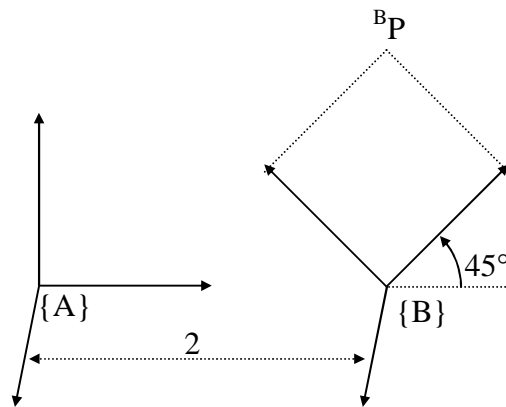


Figura 2.20. Exemplo de operador de transformação.

$${}^A P_B = [2 \ 0 \ 0]^T \quad {}^A R_B = \begin{bmatrix} \cos(45^\circ) & -\sin(45^\circ) & 0 \\ \sin(45^\circ) & \cos(45^\circ) & 0 \\ 0 & 0 & 1 \end{bmatrix}$$

$$\begin{bmatrix} {}^A P \\ 1 \end{bmatrix} = \begin{bmatrix} {}^A R_B & {}^A P_B \\ 0 & 0 & 0 & 1 \end{bmatrix} \cdot \begin{bmatrix} {}^B P \\ 1 \end{bmatrix} = \begin{bmatrix} (1/2)^{1/2} & -(1/2)^{1/2} & 0 & 2 \\ (1/2)^{1/2} & (1/2)^{1/2} & 0 & 0 \\ 0 & 0 & 1 & 0 \\ 0 & 0 & 0 & 1 \end{bmatrix} \cdot \begin{bmatrix} 1 \\ 1 \\ 0 \\ 1 \end{bmatrix}$$

$$\Rightarrow {}^A P = [2 \ (1/2)^{1/2} \ 0]^T$$

Aritmética de Transformações:

Transformação Composta:

Problema: conhecendo a localização de $\{C\}$ em relação a $\{B\}$ e a localização de $\{B\}$ em relação a $\{A\}$, determinar a localização de $\{C\}$ em relação a $\{A\}$.

Solução: dado um ponto P representado em $\{A\}$, $\{B\}$ e $\{C\}$,

$${}^B P = {}^B T_C \cdot {}^C P, \quad {}^A P = {}^A T_B \cdot {}^B P, \quad {}^A P = {}^A T_C \cdot {}^C P$$

Então,

$${}^A P = {}^A T_B \cdot {}^B P = {}^A P = {}^A T_B \cdot ({}^B T_C \cdot {}^C P) = ({}^A T_B \cdot {}^B T_C) \cdot {}^C P \Rightarrow {}^A T_C = {}^A T_B \cdot {}^B T_C$$

$$\Rightarrow {}^A T_C = \begin{bmatrix} ({}^A R_B \cdot {}^B R_C) & ({}^A P_B + {}^A R_B \cdot {}^B P_C) \\ 0 & 0 & 0 & 1 \end{bmatrix}$$

Transformação Inversa:

Problema: conhecendo a localização de $\{B\}$ em relação a $\{A\}$, determinar a localização de $\{A\}$ em relação a $\{B\}$.

Solução: dado um ponto P representado em $\{A\}$ e $\{B\}$,

$${}^A P = {}^A R_B \cdot {}^B P + {}^A P_B \Rightarrow {}^B P = {}^A R_B^{-1} \cdot ({}^A P - {}^A P_B) = {}^A R_B^T \cdot {}^A P - {}^A R_B^T \cdot {}^A P_B$$

Então, o operador matricial que relaciona ${}^A P$ a ${}^B P$ é:

$${}^B T_A = {}^A T_B^{-1} = \begin{bmatrix} ({}^A R_B^T) & (-{}^A R_B^T \cdot {}^A P_B) \\ 0 & 0 & 0 & 1 \end{bmatrix}$$

Equações de Transformação:

As transformações homogêneas permitem descrever a localização relativa de corpos rígidos. Muitos problemas de robótica envolvem a determinação da localização relativa entre dois referenciais a partir do conhecimento da localização relativa destes em relação a um terceiro referencial. Nestes casos, é possível estabelecer uma equação de transformações, a qual pode ser resolvida utilizando as regras aritméticas de composição e/ou inversão de transformações homogêneas. Assim, por exemplo, conhecendo ${}^A T_B$ e ${}^A T_C$, é possível obter ${}^B T_C$. Assim:

$${}^A T_C = {}^A T_B \cdot {}^B T_C \Rightarrow {}^B T_A \cdot {}^A T_C = {}^B T_A \cdot {}^A T_B \cdot {}^B T_C \Rightarrow ({}^A T_B)^{-1} \cdot {}^A T_C = ({}^A T_B)^{-1} \cdot {}^A T_B \cdot {}^B T_C$$

$$\Rightarrow {}^B T_C = ({}^A T_B)^{-1} \cdot {}^A T_C$$

Exemplo: seja a célula de trabalho mostrada na figura abaixo e dados os referenciais $\{B\}$ (Base), $\{G\}$ (Garra), $\{E\}$ (Estação) e $\{O\}$ (Objeto); determinar ${}^G T_O$ a partir das transformações homogêneas conhecidas ${}^B T_G$, ${}^B T_E$, ${}^E T_O$.

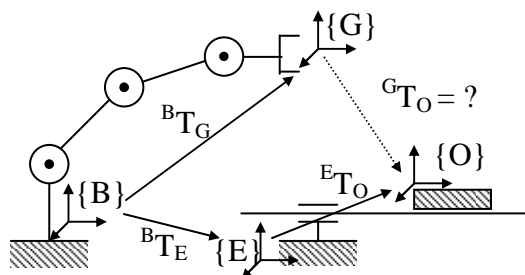


Figura 2.21. Exemplo de equação de transformação.

Solução: ${}^G T_O = {}^G T_B \cdot {}^B T_O = {}^G T_B \cdot ({}^B T_E \cdot {}^E T_O) = {}^B T_G^{-1} \cdot ({}^B T_E \cdot {}^E T_O)$

2. CINEMÁTICA DIFERENCIAL

Neste capítulo abordamos a descrição do movimento do robô manipulador sem levar em conta os esforços que o produzem. Um importante problema cinemático associado ao movimento do robô é o mapeamento de velocidades e acelerações entre espaço cartesiano e espaço de juntas. Este problema pode ser descrito matematicamente através de uma matriz, que incorpora importantes informações estruturais sobre o comportamento do robô, a qual é denominada matriz jacobiana, ou simplesmente jacobiano. Um problema análogo é o mapeamento de esforços estáticos (com o manipulador parado). Este problema consiste em determinar o mapeamento entre os esforços a que a garra é submetida quando manipulando objetos (esforços em espaço cartesiano) e os esforços correspondentes exercidos pelos atuadores das juntas. Este problema está diretamente relacionado ao mapeamento definido pelo jacobiano para velocidades.

2.1. Representação de Velocidade de um Corpo Rígido:

Velocidade Linear:

Considere um corpo rígido com um referencial $\{B\}$ fixo no mesmo. Seja a posição do corpo em relação a um referencial $\{A\}$ dada pelo vetor de posição ${}^A P_B$, a velocidade com que o corpo se translada em relação a $\{A\}$ é um atributo do ponto de origem ${}^A P_B$. Assim, a velocidade linear de $\{B\}$ em relação a $\{A\}$, ${}^A v_B$, é definida pela derivada temporal de ${}^A P_B$:

$${}^A v_B = d({}^A P_B)/dt$$

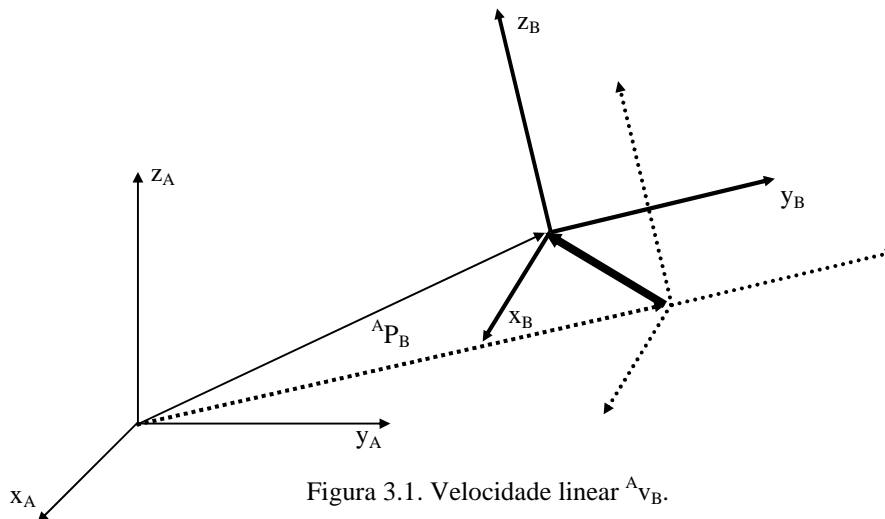


Figura 3.1. Velocidade linear ${}^A v_B$.

Velocidade Angular:

A velocidade com que um corpo gira em relação a um referencial $\{A\}$ é um atributo do referencial $\{B\}$ fixo no mesmo. Para representar a velocidade de rotação de $\{B\}$ em relação a $\{A\}$, duas abordagens são adotadas comumente: a derivada dos ângulos de orientação e o vetor de velocidade angular.

Derivada dos ângulos de orientação:

Seja a de $\{B\}$ em relação a $\{A\}$ especificada através de uma tripla de ângulos de Euler ${}^A\Phi_B = [\phi \ \theta \ \psi]^T$. A velocidade de rotação de $\{B\}$ em relação a $\{A\}$ pode ser expressa pela derivada de ${}^A\Phi_B$ em relação ao tempo:

$$d^A\Phi_B/dt = [d\phi/dt \ d\theta/dt \ d\psi/dt]^T$$

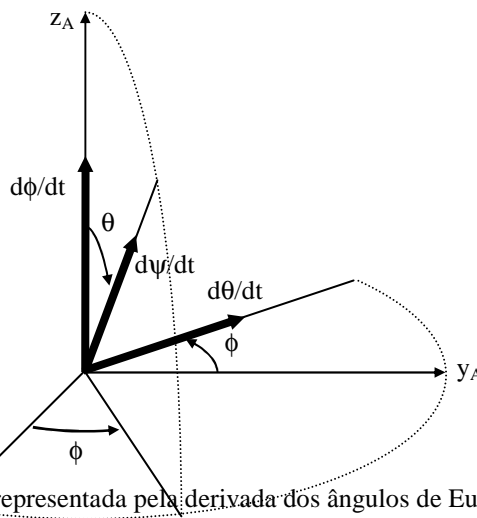


Figura 3.2. Rotação representada pela derivada dos ângulos de Euler ZYZ.

Nesta representação, a integral de $d^A\Phi_B/dt$ corresponde obviamente ao vetor ${}^A\Phi_B$, que tem um significado físico claro. Por outro lado, $d^A\Phi_B/dt$ é um vetor de componentes de rotação não ortogonais em torno de eixos de um referencial torto, os quais variam de acordo com valor corrente de ${}^A\Phi_B$.

Vetor de Velocidade Angular:

Seja a de {AB} um referencial paralelo a {B} e com origem coincidente com a origem de {A}. A mudança de orientação de {B} em relação a {A} pode ser descrita como a rotação de {AB} em torno de um vetor direcional passando pela origem de {A}. Uma forma compacta de representar esta rotação é através de um Vetor de Velocidade Angular ${}^A\omega_B$ alinhado com o eixo de rotação e cujo módulo é igual à velocidade de rotação em torno do mesmo. Nesta representação, a integral de ${}^A\omega_B$ não tem um significado físico claro. Por outro lado, ao contrário da representação por derivadas dos ângulos de Euler, ${}^A\omega_B$ é um vetor de componentes ortogonais de rotação em torno dos eixos de {A}.

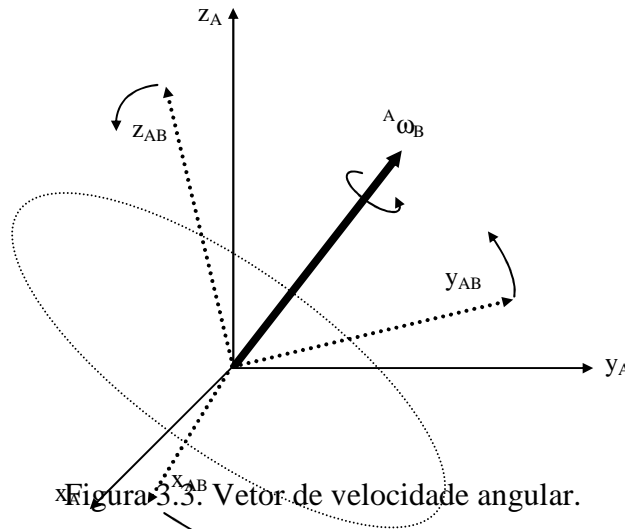
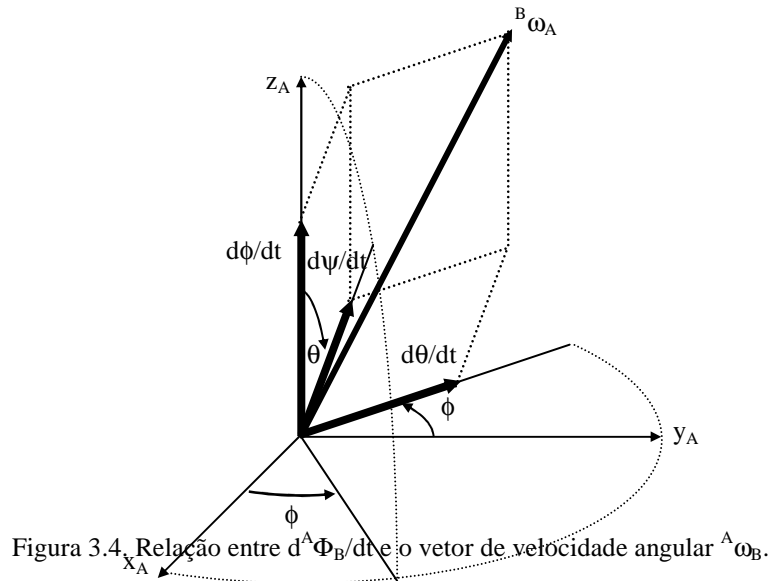


Figura 3.3. Vetor de velocidade angular.

A partir da figura abaixo, pode-se verificar que o vetor de velocidade angular ${}^A\omega_B$ se relaciona com o vetor $d^A\Phi_B/dt$ através da expressão matricial:

$${}^A\omega_B = \begin{bmatrix} 0 & -s\phi & c\phi s\theta \\ 0 & c\phi & s\phi s\theta \\ 1 & 0 & c\theta \end{bmatrix} d^A\Phi_B/dt = R_\phi \cdot d^A\Phi_B/dt$$

A matriz R_ϕ na expressão acima é dependente do valor corrente de ${}^A\Phi_B$. Verifica-se que esta matriz torna-se singular quando $\sin(\theta) = 0$. Assim, qualquer velocidade rotacional possa ser descrita através de ${}^A\omega_B$ mas, por outro lado, existem velocidades que não podem ser descritas através de $d^A\Phi_B/dt$ quando {B} assume uma orientação para a qual $\sin(\theta) = 0$. Orientações com esta propriedade são denominadas singularidades representacionais de ${}^A\Phi_B$.

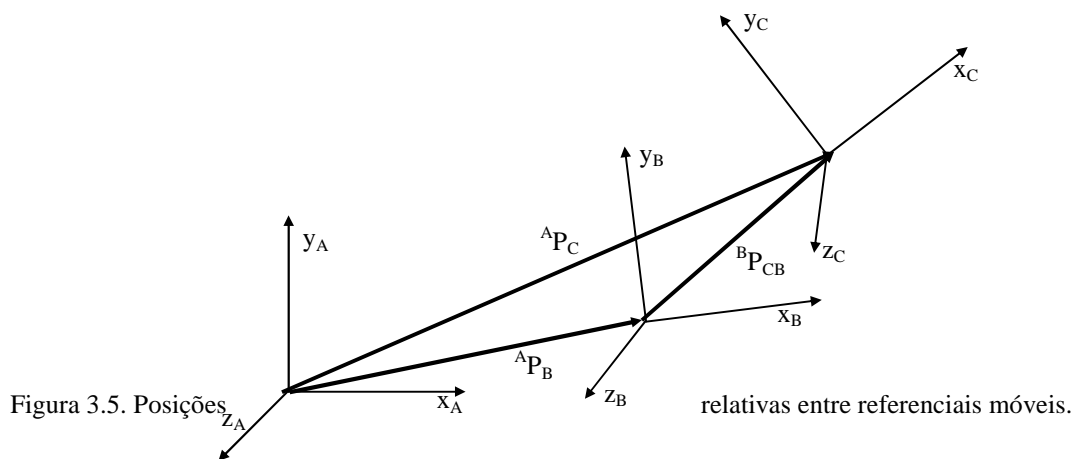


2.2. Velocidades relativas em referenciais móveis:

Velocidade Linear Relativa:

Considere três referenciais móveis $\{A\}$, $\{B\}$ e $\{C\}$. Denote $^A\mathbf{P}_B$ a posição de $\{B\}$ relativa a $\{A\}$, $^B\mathbf{P}_{CB}$ a posição de $\{C\}$ relativa a $\{B\}$ e $^A\mathbf{P}_C$ a posição de $\{C\}$ relativa a $\{A\}$. Esta última pode ser obtida a partir de $^A\mathbf{P}_B$ e $^B\mathbf{P}_{CB}$ através de uma simples soma vetorial, desde que os dois vetores sejam expressos no mesmo sistema de coordenadas. Representando $^B\mathbf{P}_{CB}$ em $\{A\}$ através da matriz de rotação $^A\mathbf{R}_B$, que especifica a orientação de $\{B\}$ relativa a $\{A\}$, temos:

$$^A\mathbf{P}_C = ^A\mathbf{P}_B + ^A\mathbf{R}_B \cdot ^B\mathbf{P}_{CB}$$



Derivando a expressão acima podemos obter o vetor velocidade linear de {C} em relação a {A} a partir das velocidades relativas de {B} em relação a {A} e de {C} em relação a {B}:

$$d(^A\mathbf{P}_C)/dt = d(^A\mathbf{P}_B)/dt + d(^A\mathbf{R}_B \cdot {}^B\mathbf{P}_{CB})/dt$$

$$\Rightarrow {}^A\mathbf{v}_C = {}^A\mathbf{v}_B + d(^A\mathbf{R}_B \cdot {}^B\mathbf{P}_{CB})/dt$$

$$\Rightarrow {}^A\mathbf{v}_C = {}^A\mathbf{v}_B + d(^A\mathbf{R}_B)/dt \cdot {}^B\mathbf{P}_{CB} + {}^A\mathbf{R}_B \cdot d({}^B\mathbf{P}_{CB})/dt$$

O segundo termo do lado direito da equação acima, que envolve a derivada de ${}^A\mathbf{R}_B$, é uma componente de velocidade que aparece quando ${}^A\mathbf{R}_B$ varia, ou seja, quando {B} está girando em relação a {A}. Isto gera uma componente de velocidade linear de {C} em relação a {A}, mesmo se {B} não se translate em relação a {A} e {C} não faça o mesmo em relação a {B}. Detalhando o termo $d(^A\mathbf{R}_B)/dt \cdot {}^B\mathbf{P}_C$:

$$d(^A\mathbf{R}_B)/dt \cdot {}^B\mathbf{P}_C = [d(^A x_B)/dt \quad d(^A y_B)/dt \quad d(^A z_B)/dt] \cdot {}^B\mathbf{P}_C$$

Para determinar as derivadas que compõem as colunas de $d(^A\mathbf{R}_B)/dt$, considere o referencial {B} girando em relação a {A} com velocidade angular ${}^A\omega_B$. Para efeito de simplificação, considere que {A} e {B} possuem a mesma origem (${}^A\mathbf{P}_B = 0$), diferindo apenas na sua orientação (${}^A\mathbf{R}_B$ variando em função de ${}^A\omega_B$). Dado um ponto ${}^B\mathbf{P}$ com coordenadas fixas em {B}, a sua representação em {A} ${}^A\mathbf{P}$ será também função de ${}^A\omega_B$.

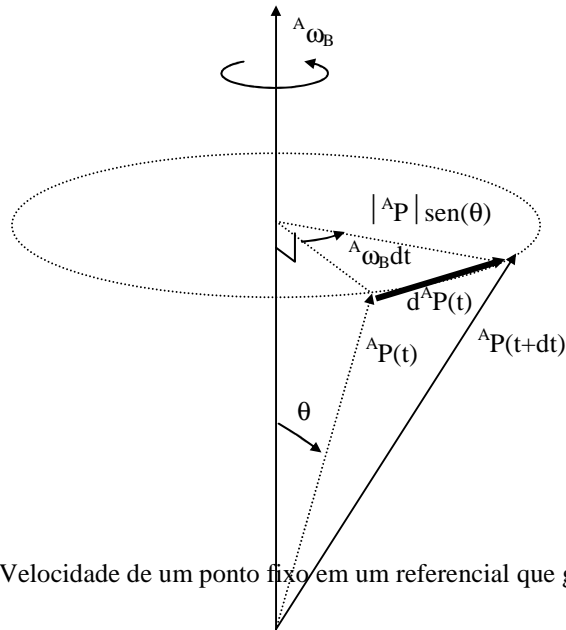


Figura 3.6. Velocidade de um ponto fixo em um referencial que gira.

Da figura acima, podemos observar que o vetor $d(\mathbf{A}P) = \mathbf{A}P(t+dt) - \mathbf{A}P(t)$ é perpendicular ao vetor $\mathbf{A}P(t)$ e ao vetor $\mathbf{A}\omega_B$. Por outro lado, quando $d(\mathbf{A}P)$ tende a zero, o seu módulo tende ao comprimento do arco $|d(\mathbf{A}P)| = |\mathbf{A}\omega_B \cdot dt| \cdot |\mathbf{A}P| \cdot \sin(\theta)$, ou seja: $|d(\mathbf{A}P)/dt| = |\mathbf{A}\omega_B| \cdot |\mathbf{A}P| \cdot \sin(\theta)$. Assim, $d(\mathbf{A}P)/dt$ pode ser expresso como o produto vetorial dos vetores $\mathbf{A}P$ e $\mathbf{A}\omega_B$:

$$d(\mathbf{A}P)/dt = \mathbf{A}\omega_B \times \mathbf{A}P$$

Desta forma, para o caso particular em que o vetor $\mathbf{A}P$ for igual aos eixos do referencial $\{B\}$ expressos em $\{A\}$, $\mathbf{A}x_B$, $\mathbf{A}y_B$ e $\mathbf{A}z_B$, temos:

$$d(\mathbf{A}x_B)/dt = \mathbf{A}\omega_B \times \mathbf{A}x_B$$

$$d(\mathbf{A}y_B)/dt = \mathbf{A}\omega_B \times \mathbf{A}y_B$$

$$d(\mathbf{A}z_B)/dt = \mathbf{A}\omega_B \times \mathbf{A}z_B$$

Assim:

$$d(\mathbf{A}R_B)/dt \cdot {}^B P_{CB} = [d(\mathbf{A}x_B)/dt \quad d(\mathbf{A}y_B)/dt \quad d(\mathbf{A}z_B)/dt] \cdot {}^B P_{CB} = [\mathbf{A}\omega_B \times \mathbf{A}x_B \quad \mathbf{A}\omega_B \times \mathbf{A}y_B \quad \mathbf{A}\omega_B \times \mathbf{A}z_B] \cdot {}^B P_{CB}$$

$$\Rightarrow d(\mathbf{A}R_B)/dt \cdot {}^B P_{CB} = \mathbf{A}\omega_B \times [\mathbf{A}x_B \quad \mathbf{A}y_B \quad \mathbf{A}z_B] \cdot {}^B P_{CB} = \mathbf{A}\omega_B \times (\mathbf{A}R_B \cdot {}^B P_{CB})$$

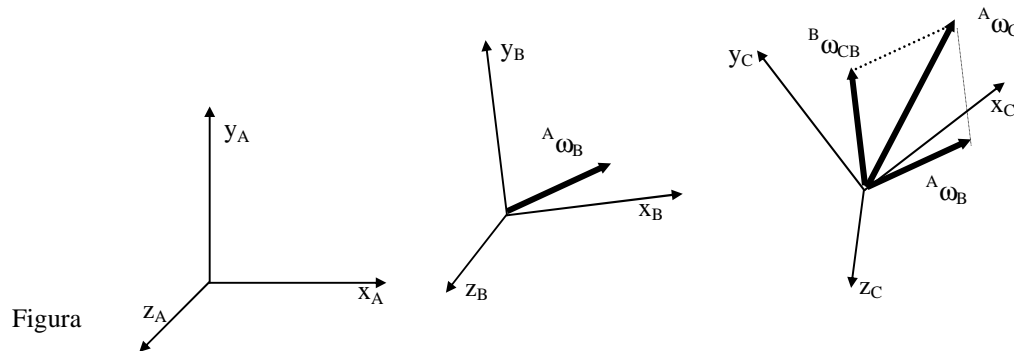
Desta forma, a velocidade linear relativa de $\{C\}$ em relação a $\{A\}$ pode ser expressa como:

$$\mathbf{A}v_C = \mathbf{A}v_B + \mathbf{A}\omega_B \times (\mathbf{A}R_B \cdot {}^B P_{CB}) + \mathbf{A}R_B \cdot d({}^B P_{CB})/dt$$

Velocidade Angular Relativa:

De forma análoga ao caso linear, denote $\mathbf{A}\omega_B$ a velocidade angular de $\{B\}$ relativa a $\{A\}$, $\mathbf{B}\omega_{CB}$ a velocidade angular de $\{C\}$ relativa a $\{B\}$ e $\mathbf{A}\omega_C$ a velocidade angular de $\{C\}$ relativa a $\{A\}$. Esta última pode ser obtida a partir de $\mathbf{A}\omega_B$ e $\mathbf{B}\omega_{CB}$ através de uma simples soma vetorial, desde que os dois vetores sejam expressos no mesmo sistema de coordenadas. Representando $\mathbf{B}\omega_{CB}$ em $\{A\}$ através da matriz de rotação $\mathbf{A}R_B$, que especifica a orientação de $\{B\}$ relativa a $\{A\}$, temos:

$$\mathbf{A}\omega_C = \mathbf{A}\omega_B + \mathbf{A}R_B \cdot \mathbf{B}\omega_{CB}$$



Velocidades angulares relativas entre referenciais móveis.

2.3. Representação de Aceleração de um Corpo Rígido:

Aceleração Linear:

Definimos o vetor de aceleração linear ${}^A v_B'$ de um referencial corpo rígido B relativa a um referencial {A} como a derivada temporal do vetor de velocidade linear ${}^A v_B$ de um referencial {B} relativa a {A}, onde {B} é fixo no corpo B:

$${}^A v_B' = d({}^A v_B)/dt = [d({}^A v_{Bx})/dt \quad d({}^A v_{By})/dt \quad d({}^A v_{Bz})/dt]^T$$

Aceleração Angular:

Definimos o vetor de aceleração angular ${}^A \omega_B'$ de um corpo rígido B relativa a um referencial {A} como a derivada temporal do vetor de velocidade angular ${}^A \omega_B$ de um referencial {B} relativa a {A}, onde {B} é fixo no corpo:

$${}^A \omega_B' = d({}^A \omega_B)/dt = [d({}^A \omega_{Bx})/dt \quad d({}^A \omega_{By})/dt \quad d({}^A \omega_{Bz})/dt]^T$$

2.4. Acelerações relativas em referenciais móveis:

Aceleração linear relativa:

Considere três referenciais móveis {A}, {B} e {C}. Denote ${}^A v_C'$ a aceleração linear de {C} relativa a {A}. Esta pode ser obtida derivando a expressão correspondente da velocidade linear ${}^A v_C$, função de ${}^A v_B$, ${}^A \omega_B$ e $d^B P_{CB}/dt$:

$${}^A v_C' = d({}^A v_C)/dt = d[{}^A v_B + {}^A \omega_B \times ({}^A R_B \cdot {}^B P_{CB}) + {}^A R_B \cdot d({}^B P_{CB})/dt]/dt$$

$$\Rightarrow {}^A v_C' = d({}^A v_B)/dt + (d({}^A \omega_B)/dt) \times ({}^A R_B \cdot {}^B P_{CB}) + {}^A \omega_B \times d({}^A R_B \cdot {}^B P_{CB})/dt + d({}^A R_B \cdot d({}^B P_{CB})/dt)/dt$$

$$\Rightarrow {}^A v_C' = {}^A v_B' + {}^A \omega_B' \times ({}^A R_B \cdot {}^B P_{CB}) + {}^A \omega_B \times (d({}^A R_B)/dt) \cdot {}^B P_{CB} + {}^A \omega_B \times {}^A R_B \cdot (d({}^B P_{CB})/dt) + (d({}^A R_B)/dt) \cdot d({}^B P_{CB})/dt + {}^A R_B \cdot d^2({}^B P_{CB})/dt^2$$

Usando a identidade derivada anteriormente para a derivada de uma matriz de rotação ${}^A R_B$ vezes um vetor ${}^B V$: $d({}^A R_B)/dt \cdot {}^B V = {}^A \omega_B \times ({}^A R_B \cdot {}^B V)$, temos:

$${}^A v_C' = {}^A v_B' + {}^A R_B \cdot d^2({}^B P_{CB})/dt^2 + {}^A \omega_B' \times ({}^A R_B \cdot {}^B P_{CB}) + {}^A \omega_B \times ({}^A \omega_B \times {}^A R_B \cdot {}^B P_{CB}) + 2 \cdot ({}^A \omega_B \times {}^A R_B \cdot d({}^B P_{CB})/dt)$$

Os dois primeiros termos do lado direito representam a soma vetorial das acelerações lineares de {B} e {C} expressas em {A}. O terceiro termo é uma componente de aceleração linear devido à aceleração angular de {B} e a que {C} está a uma distância ${}^B P_C$ de {B}. Os dois últimos termos representam componentes de aceleração linear coriolis (produtos de velocidades) e centrífuga (velocidades ao quadrado).

Aceleração angular relativa:

Considere três referenciais móveis $\{A\}$, $\{B\}$ e $\{C\}$. Denote ${}^A\omega_C'$ a aceleração linear de $\{C\}$ relativa a $\{A\}$. Esta pode ser obtida derivando a expressão correspondente da velocidade linear ${}^A\omega_C$, função de ${}^A\omega_B$, e ${}^B\omega_{CB}$:

$${}^A\omega_C' = d{}^A\omega_C/dt = d[{}^A\omega_B + {}^A R_B \cdot {}^B\omega_{CB}]/dt = d{}^A\omega_B/dt + d({}^A R_B \cdot {}^B\omega_{CB})/dt$$

$$\Rightarrow {}^A\omega_C' = {}^A\omega_B' + (d{}^A R_B/dt) \cdot {}^B\omega_{CB} + {}^A R_B \cdot d{}^B\omega_{CB}/dt$$

Usando a identidade derivada anteriormente para a derivada de uma matriz de rotação ${}^A R_B$ vezes um vetor ${}^B V$: $d({}^A R_B)/dt \cdot {}^B V = {}^A\omega_B \times ({}^A R_B \cdot {}^B V)$, temos:

$${}^A\omega_C' = {}^A\omega_B' + {}^A R_B \cdot d{}^B\omega_{CB}/dt + {}^A\omega_B \times {}^A R_B \cdot {}^B\omega_{CB}$$

Os dois primeiros termos do lado direito representam a soma vetorial das acelerações angulares de $\{B\}$ e $\{C\}$ expressas em $\{A\}$. O último termo representa componentes de aceleração angular coriolis (produtos de velocidades) e centrífuga (velocidades ao quadrado).